

只相差450y 左右, 和趋势分析结果基本吻合。我们还做过一条长的精测磁剖面, 即图 1 中的11号剖面, 以及通过航空磁测所确定

的区域背景值,基本上都一致。

确定了区域背景值后,我们对 I 号异常的中心剖面进行了正演计算,还有近400γ的剩余异常,对剩余异常进行反演后,推断该异常的深部有较大的矿体存在。

## 结论和几点体会

通过对晋南某磁异常的电算数据处理,以及对地质物探资料的综合分析,使我们对矿体的空间位置、形态、规模以及异常之间矿体的连续,均有了新的认识。看来I、W、IX号异常并非像目前所验证的规模,它该至少和II号异常所反映的矿体规模,应该至少和II号异常所反映的矿体的规模相同。

在解释电算成果时, 要对物探和地质资料作综合分析, 注意方法的应用条件。只有这样才能取得较好的地质效果。

# 吴努克头山铜钼矿区自然电流法的找矿效果

黑龙江省冶金地质勘探公司物探队 王大威

#### 矿区地质概况

吴努克头山位于呼伦贝尔 草原 西 部,1978年发现有较好的物化探异常,经钻探见铜钼矿体。矿区为丘陵地形,海拔700~900米,地面坡度10~15°,山形浑圆,地形切割较轻,植被不发育,山顶常有基岩裸露,谷地疏松盖层厚达20米以上。水系极不发育,没有河流。大陆性气候,年平均温度-2.6°C,最低-38°C,每年冰凉期6个月,年平均降水量300毫米,年蒸发量1282毫米,平均相对湿度69%,夏季常有大雨。

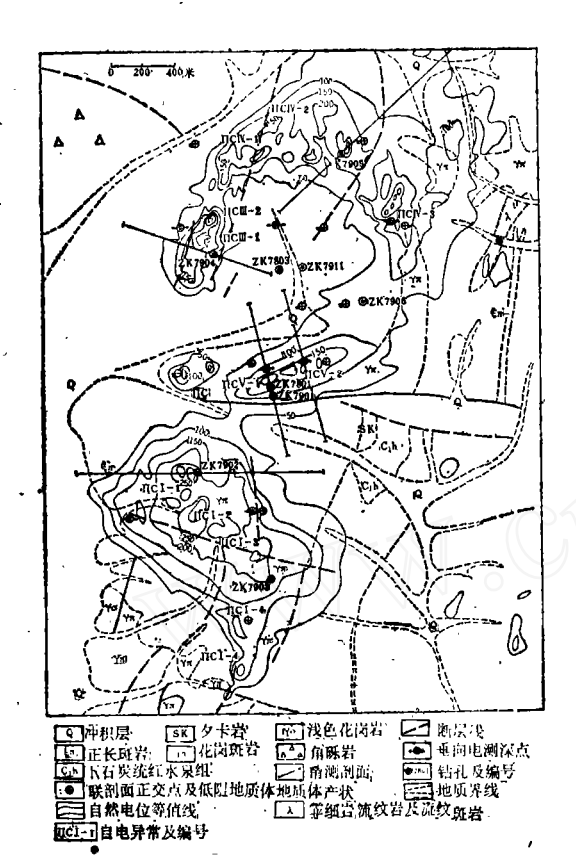
本区地质情况研究较差。矿区位于北东向深大断裂的北西侧,周围广泛分布着侏罗系中酸性火山岩和煤系地层,中间为一条北东向的隆起,由石炭系灰岩、砂板岩构成了倾没背斜的核部。有花岗岩、花岗斑岩侵入和火山岩的喷发。矿区位于一个花岗岩侵入体的东侧。岩体为中粒黑云母花岗岩,面积约100平方公里,在矿区周围强烈蚀变,主要有硅化、绢云母化和钾长石化,范围达10

平方公里,呈北东向延伸,由于强烈硅化作用,蚀变岩体皆成正地形。

地表矿化很弱,未见明显的铁帽,局部有孔雀石、钼华等次生矿物。氧化带深达50米左右,深部见黄铜矿、黝铜矿、斑铜矿、铜蓝、黄铁矿、辉钼矿等金属矿物。矿体含铜0.4~1%,含钼0.03~0.2%,矿化比较均匀,硫化物总含量一般为1~5%,最高可达10%以上。

## 自电异常和其它物化探异常特征

自然电流异常是在比例尺1:2万和1:5千的物化探测量过程中发现的。自电测量采用电位法工作,网度为50×20米。工作结果发现,在蚀变岩体范围内,有一连续而宽缓的自然电流异常带(图1),呈北东向延伸,连续延长5500米,宽1500~2000米,最大异常值一般-150至-200毫伏,最高-500毫伏。整个异常可分为两部分。北东部的异常为一环形异常,外环直径约2公里,环形异常的宽度为400~700米,中心是



7

\图1

一面积为 0.5 平方公里的无异常区。整个异常由 II、II、IV、V四段异常组成,其中 IV号异常规模较大,呈弧形向北突出,长2500米,宽 700 米,最大异常值-150至-330毫伏,在宽缓的异常背景上,还叠加了一些局部异常,呈条带状,走向北东,宽 100 余米,长 200~300米,梯度较大。各个异常的形态一般均不对称,环形外侧的异常梯度较缓,内侧较陡。 I 号异常在环形异常之西南部,呈北西向延展,长2000米,宽1200米,异常值-200至-500毫伏,在宽缓的背景上也叠加了一些北东走向的异常。

自电异常几乎都分布在山脊部位,异常轴线基本与山脊走向一致,沿这些山脊分布着强蚀变的绢英岩及硅质岩,外观呈灰色、灰褐色,由物理风化崩塌成块状。根据电参数测定结果及电测深资料,在自电异常中心,岩石电性向下明显地分为两层,从地表至50米左右深处为高电阻层,电阻率1700~3600欧姆·米,由此向下为低阻层,电阻率150~400欧姆·米,两者相差10倍左右。

在水平方向上, 也看到这种电性的变

化。当用极距1000米作梯度测量时,在自电 异常部位为一低阻带,视电阻率在数百欧姆 ·米以下,而在外侧一般可达1000欧姆·米以 上,说明本区引起自电异常的地质体,在电 性上和围岩有明显的电性差异。用m,Q法 确定场源深度均在低阻体范围之内,说明自 电异常和低阻体有密切的关系。

本区所有自电异常都和激发极化异常重叠出现,两者中心位置相近,激电异常的范围比自电异常的范围宽,视极化率异常值一般为10~12%,背景值为2~4%,按定量解释,激化体呈陡倾斜的厚板状,宽200~600米,顶部埋深40~60米。

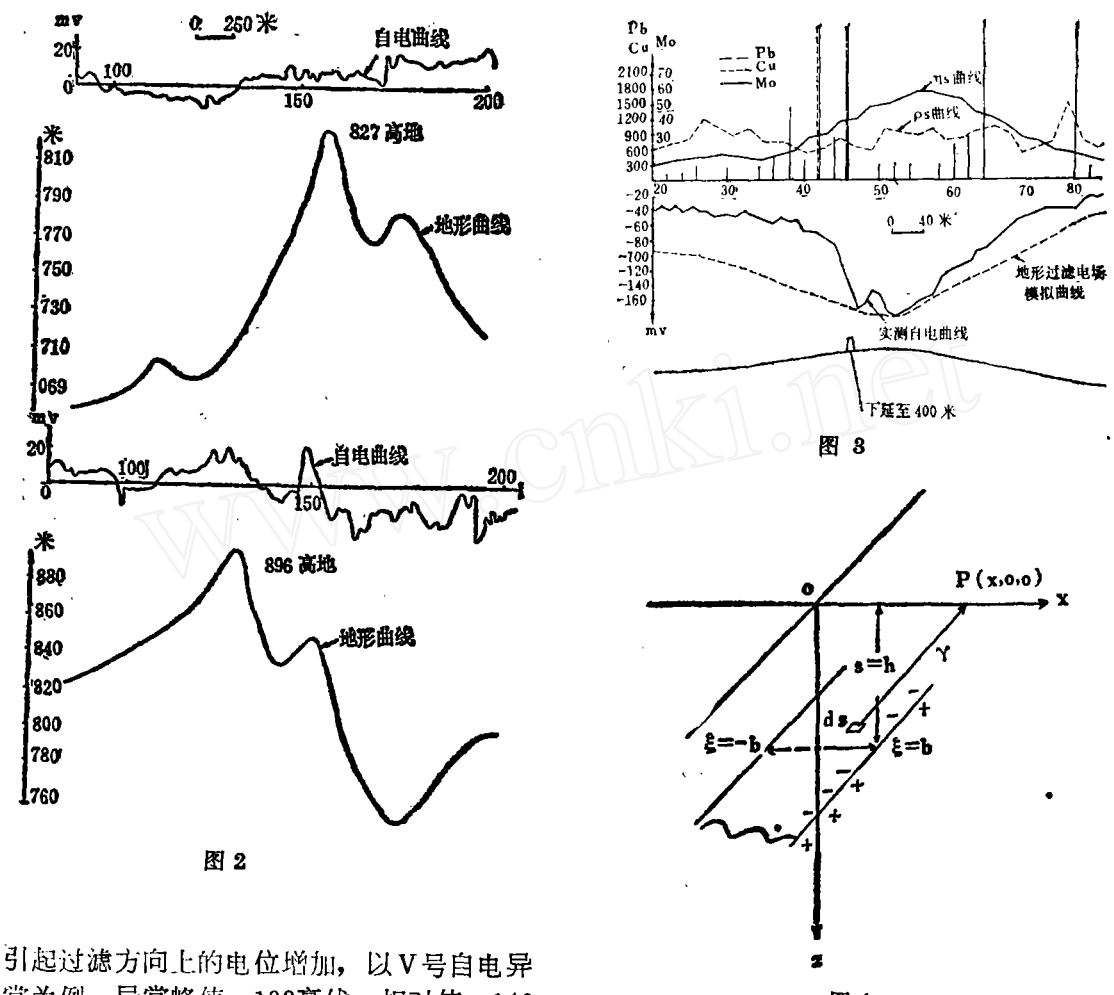
自电异常和化探次生晕异常关系更为密切。沿环形异常内侧分布着一个铜钼化探异常带,两者中心位移80~200米,因而自电异常中心化探异常反而微弱。本区铜异常为100~2000Y/g,铅铜钼异常的外侧分布着铅银铜异常和铅锌铜异常,异常断续出现,长达10公里以上。

为了验证物化探异常的性质,布置钻孔 9 个,有 4 个钻孔直接验证自电异常。验证结果良好,IV号异常中心的 ZK 5 孔从 20 米至240米连续219米均见矿,铜品位0.46%;V号异常上的ZK 1 孔从50米向下,累计见矿厚度为120米,铜品位0.4%;Ⅲ号异常的ZK 4 孔目的在于验证次一级的自电异常和化探异常,从16米至264米连续见钼矿214米,平均钼含量0.068%,其他各 孔也都见矿。布在环形异常中心的 ZK11 孔,孔深400余米,但未见矿,也未见蚀变岩石。由此证实了自电异常和铜钼矿的密切联系,说明本区自然电流法是有效的找矿方法。

#### 自电异常生成机制的讨论

本区的自电异常和地形呈倒泉关系,异常是否属于山地电场有必要查明其来源。为此我们选择了附近的896、840两个高地(地形地质条件和矿区的相似),在大雨后的第二天和第五天,分别进行了自然电流剖面测量,剖面全长4500米(图2)。可以看出,整条剖面的自然电位值仅在±10毫伏间变化,并未发现任何与地形有联系的自电异常。

现在试从理论上来模拟这种过滤电场。 假定渗滤的地下水沿地形坡度向下流动时,



引起过滤方间上的电位增加,以V号自电异常为例,异常峰值-182毫伏,相对值-140毫伏,极值点正在山脊部位,地形起伏高差50米,按电位值和高度呈线性关系计算,每米电位梯度值为-2.8毫伏/米,由此得到一条过滤电位曲线(图 3 ),可以看到两者完全不拟合,实测电位曲线显示出高频组分增强。实际上由于本区气候干燥,地下水位很深,无近地表潜水流,缺少形成山地电场的条件。

下面再从矿的因素来 考虑自电异常的形成。 假定自电异常在宏观上是 由矿体的物质成分、结构、 构造等综合因素产生的。 根据钻孔的实测水位,地 下水面深度在36~160 米 左右,扣除地形起伏的影 有孔几乎保持同一水 面标高,说明本区矿体有 良好的地下水通道。假定 矿体呈均匀直立厚板状,由于氧化还原作用, 潜水面上部介质将正电荷交给矿体形成负电 性层,潜水面下部则形成正电性层,当水平宽 度很大时,它们可看成一个水平的电偶层。设 矿体走向长度为无限大,宽度为2b,潜水面 深度为h,电偶层矩为τ,按位场的偶层势理 论,电偶层在空间的电位应满足下面的关系。

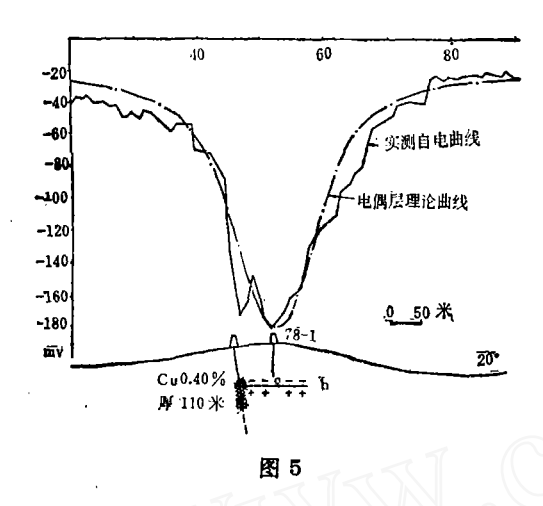
$$u = \int_{S} \tau \ grad\left(\frac{1}{r}\right) dS$$

$$= -\tau \int_{-\infty}^{\infty} \int_{-b}^{b} \frac{h \ d\xi \ d\eta}{[(x-\xi)^{2} + (y-\eta)^{2} + (z-\xi)^{2}]^{3/2}}$$

$$= \tau h \int_{-b}^{b} d\xi \int_{-\infty}^{\infty} \frac{d(y-\eta)}{[(x-\xi)^{2} + (y-\eta)^{2} + h^{2}]^{3/2}}$$

$$= -2\tau h \int_{-b}^{b} \frac{d\xi}{(x-\xi)^{2} + h^{2}}$$

$$= 2\tau \left( \operatorname{arctg} \frac{x-b}{h} - \operatorname{arctg} \frac{x+b}{h} \right)$$



式中x, y, z为依附于 观 测 空间 的座标系, $\xi$ ,  $\eta$ 、 $\xi$ 为依附于矿体的座标 系(图 **4**)。

为求得偶层矩 $\tau$ ,根据电位u 经 过偶层面产生 $4\pi\tau$ 突变,可得:

$$u_{+} - u_{-} = 4\pi\tau$$

$$\tau = \frac{u_{+} - u_{-}}{4\pi} = \frac{\Delta u_{0}}{4\pi}$$

式中  $\Delta u_0$  为偶层电势差,它应当等于矿体在氧化还原界面上的电位跳跃。由此得走向无限延长的水平电偶层的 地面电位表达式:

$$u = \frac{\Delta u_0}{2\pi} \left( \operatorname{arctg} \frac{x-b}{h} - \operatorname{arctg} \frac{x+b}{h} \right)$$

选择本区有代表性的 II 号、 V 号剖面进行理论计算。 II 号剖 面施 工的 ZK11 孔,水位深60米,自电异常极值为 -180 毫伏,异常宽约300米,根据见矿厚度及电阻 率剖面的低阻带宽度,取2b=100米,按上式计算求得理论电位曲线(图5),可以看出它和实测异常比较拟合,根据拟合曲线求得矿体的电位跳跃 $\Delta u_0 = 720$ 毫伏。

V号剖面施工 ZK 5 孔,水 位 深160米,自电异常呈宽缓形态。电位极值-160毫伏,异常宽度1100米,如按Q,m参数解释,场源中心埋深达300余米。仍用上述关于水平电偶层的讨论,按电阻率剖面低阻层的宽度,取2b=500米,h=160米,得到理论电位曲线(图6),可以看出它和实测曲

线相当拟合;根据拟合曲线得到偶层电位跳跃 $\Delta u_0 = 470$ 毫伏。

为了检验上述结果,从ZK 5, ZK 1 等 孔采取矿心,将其半浸没 在 pH = 6 的水槽中,用甘汞双参比电极代用不极化电极作为一个极,放在水槽中,另一极为铜电极直接和矿石表面接触,用直流电位差计测定电位差,考虑到参比电位,每次测定均减去底数,其结果列如下表。

标本所在位置 (米)		<b>Δu</b> <sub>0</sub>	标本所在位置	Δu, 毫 伏		
		老 伏	(米)			
ZK 5	24	50	ZK-1 77	110		
	30.5	10	7 303	110		
*	97.5	600	ZK-2 450	150		
"	149	650	ZK-11 296	0		
			(正常岩石)			
	160	180				
#	187	220				
"	200	210				
	231	260				

从上表可以看出,本区矿石有电位跳跃 存在,其值与理论值接近。

接电偶层求得的理论曲线比较对称,而实测曲线都稍有不对称,如VI号剖面,异常极值为 -172毫伏,北西翼缓,南东翼陡,极值位于山脊以西80米处,用地形不对称解释不了。从 $\rho_s$ 剖面曲线可以看出,自电异常处于低阻 $\rho_1$ 的固岩上,其东南侧与 高阻  $\rho_2$  围岩相邻,在地质上恰好是 强 硅 化带的核心。 $\rho_1$ 约100~200欧姆•米, $\rho_2$ 大于 1500欧姆•米, $\rho_1$ 《 $\rho_2$ 。由于电阻分界 面 的反射,使异常中心向界面处位移,从而使南东翼的梯度变陡。

仍用电偶层模型来分析,设界面位于偶层右边界点b处(图7),在 $\rho_2$ 介质中 存在偶层的电象,其边界为b和3b点。在 $\rho_1$  介质中,电位 $\mu_1$  为:

$$u_1 = \int_{-\infty}^{\infty} \int_{b}^{b} \frac{-\tau h \, d\xi \, d\eta}{((x-\xi)^2 + (y-\eta)^2 + h^2)^{3/2}}$$

$$+ \int_{-\infty}^{\infty} \int_{-b}^{b} \frac{-K_{12} \tau h d\xi d\eta}{((x-\xi)^{2}+(y-\eta)^{2}+h^{2})^{3/2}}$$

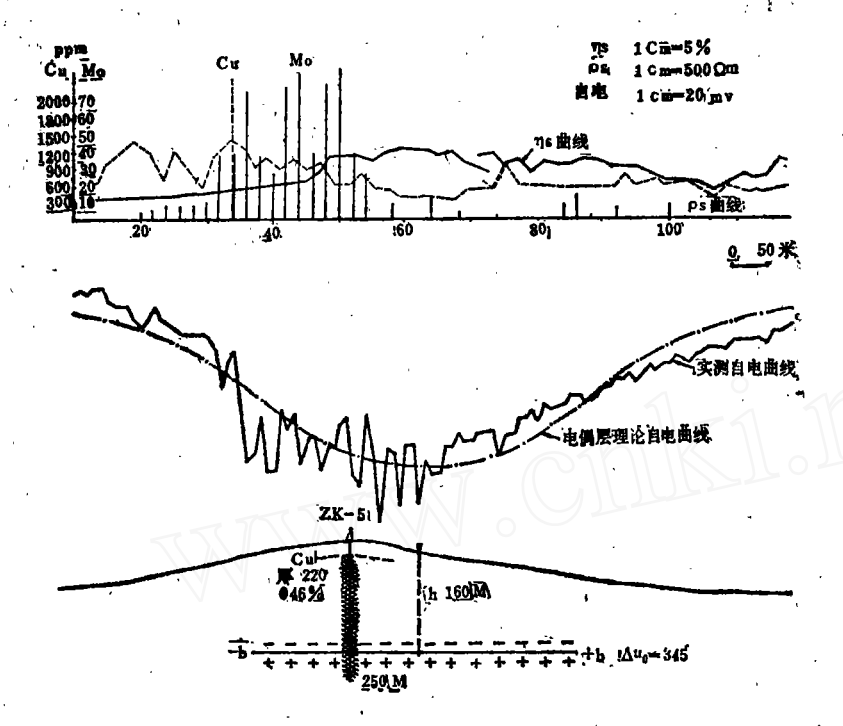


图 6

$$= 2\tau \left(\arctan \left(\frac{x-b}{h} - \arctan \left(\frac{x+b}{h}\right)\right) + 2K_{12}\left(\arctan \left(\frac{x-3b}{h} - \arctan \left(\frac{x-b}{h}\right)\right)\right)$$

在ρ₂介质中。

$$u_2 = 2(1 - K_{12})\tau(arctg\frac{x-b}{h} - arctg\frac{x+b}{h})$$
  
式中 $K_{12} = (\rho_2 - \rho_1)/(\rho_2 + \rho_1)$ 为反射系数;

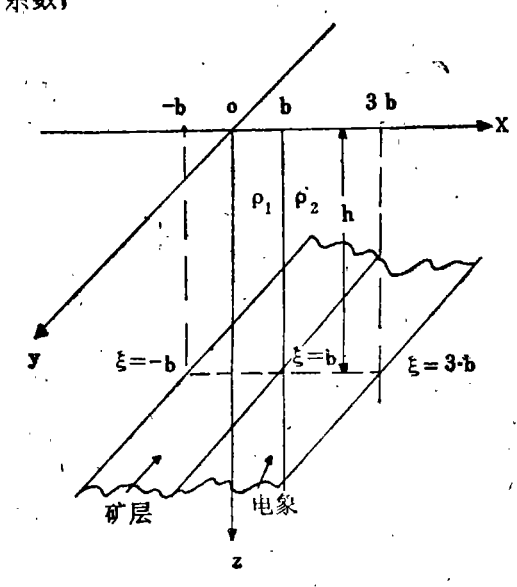


图 7

h 为偶层**深度**; τ 为偶层矩。 取 ρ<sub>1</sub> = 200 欧姆

ρ₂ = 2000欧姆・

\*

h = 80米, 、

2b = 100来**,** 

2τ=90米,代人上 式得IV号剖面的理论曲 线(图8),可以看出 和实测曲线比较拟合。 围岩介质的电性不均匀 是影响曲线形态的重要 因素。

### 结语

吴努克头山斑岩型 铜钼矿床的发现**,物化** 

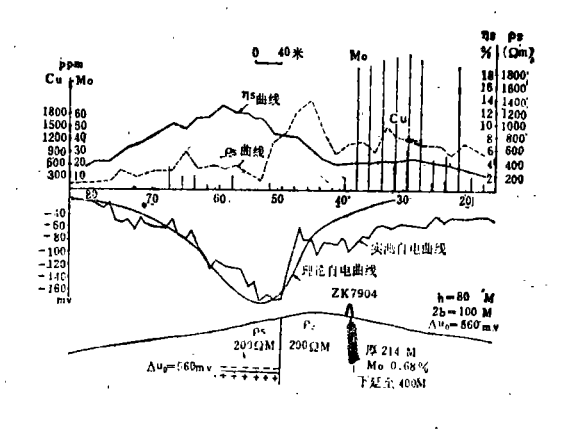


图 8

探工作起了关键作用。特别是在本区发现了 很明显的自电异常,根据异常所图定的矿体 都得到了见矿的验证,因此认为自电异常是 矿体的直接反映。

与其他方法相比,自然电流法的特点是:轻便,效率高,成本低。通过对自电异常的数学物理解释,适当配合其他方法,对矿体的形态和产状能得到一个比较完整的概念。初步认为本区的斑岩铜钼矿床是一个向

四周倾斜的圆筒状矿体,直径2~3公里。南部 I号异常可能是另一个含矿体。

形成本区自电异常的主要因素,是地下

水和矿体的物理化学过程。地下水的深度和 矿体与斑岩电性的差异,控制了自电异常的 形态。

## 汞的迁移转化和壤中汞气异常的形成

胡国廉 田俊杰 赖文明 常凤池 李德亮

实践证明,壤中汞气地球 化 学 找 矿方 法,在我国铜、铅、锌、钨、锡、钼、汞、锑、金以及铁矿上都有一定的 效 果。由于在厚层运积物覆盖区它比次生晕等方法的效果好,故其试验和应用正不断扩大。但在工作方法、数据质量、应用条件和异常评价方面尚存在许多问题。我们认为,这些问题涉及到壤中汞气异常的形成机理和影响因素两个方面,而这两方面的深入研究又都必须先搞清汞的迁移和转化。本文就是试图从深部汞源中的汞和土壤中的汞之迁移、转化,探讨汞气异常形成等问题。

## 深部汞源的转化和迁移

前面提到的若干种金属矿床,在其矿石矿物和脉石矿物中含汞(表1),是大家知道的。矿体周围发育着汞的原生晕,也屡见报道。但在盲矿体中,这些固体矿物中的汞,是怎样与土壤中的汞气相联系,其发育

	, Ā	告干	矿物中汞的含	L (ppm)范	图 表 1
鵬	쏌	矿	10~1000	自然金	1~100
砷	锕	<b>7</b>	5~500	自然银	1~100
闪	锌	<b>0</b> .	0.1~200	重晶石	0.2~200
辉	绑	<b>0</b> ,	0.1~150	白铅矿	0.1~200
雄		黄	0.2~150	白云石	0.1~50
黄	铁	<b>8</b>	0.1~100	萤 石	0.01~50
方	铅	₩.	0.04~70	方解石	0.01~20
黄	镧	<b>#</b>	0.1 ~40	菱 铁矿 *	0.02~30
斑	锏	<b>₽</b>	0.1 ~30	石 英	0.01~2
车	轮	<b>₽</b> `.	0.1 ~25	軟锰矿	1 ~1000
辉	侧	8	0.1 ~25	褐铁矿	0.1~500
白	铁	<b>B</b> ,	0.1 ~20	赤铁矿*	0.02~0.05
磁	黄萝	<b>**</b>	0.1 ~5	磁铁矿*	0.1~0.5
辉	佣	*	0.1 ~5	锡 石**	0.1~450
#		Ø	0.1 ~3	黑钨矿**	0.1
離		黄	0.1 ~3	镍黄铁矿***	46

往, \*为作者所在单位资料, \*\*引自《汞的原生分散晕》, 其他引自Jonasson和Boyle。

又受哪些因素控制,都还没有充足的材料说明。一般认为是成矿过程残留的汞气,或含含形物气化分解造成的,即认为汞是自深部以气态向上迁移。那么,渗透着地下水的岩层和断裂,对气态汞的迁移必然是一种不透明。我们在凡口铅锌矿,在地表有壤中汞中,以至水的岩层(或断层),从控矿断裂破碎积积。以气态水的岩层(或断层)的地表迁移的假说,很难解释埋藏深、在潜水面下的自矿体可以,以一个新问题。汞是否还有另外的迁移形式?Leckie等对三种价态的汞在pH—Eh坐标系

坑道断裂破碎带中汞气含量(ng/m³) 表 2

深 度	F3		- F4		F101		F102	
(米)	样品數	平均	样品數	平均	样品数	平均	样品数	平均
- 120	-8	16			2	25		
- 160	8	6.8	1	2	2	4	1	1
- 200	8	18	1	1	8	11	2.	2

中稳定场的研究成果(图1),对我们有很大启示。若将硫化矿床酸性矿体水的范围投影于其中,则可以发现此位置并非气态汞的稳定场。这是否可以认为,含汞矿物甚至包括由它们分解的游离汞,能转化为更稳定的HgCl。形式呢?为此,我们首先分析HgS在这条件下溶解的可能性。在溶液中存在Cl~浓度为3.5ppm时,HgS溶解度增加408倍,而Pb、Zn、Cd的硫化物只增加3~39倍,Cl~浓度为350ppm时,HgS溶解度增加44230倍(据Hahne等)。为进一步证实汞的可溶性,我们用5%Fe2(SO4)3-1%NaCl溶液,在13°C时冷浸各种矿石。从16个矿区9种矿石的49个样品实验结果,证实了汞明显